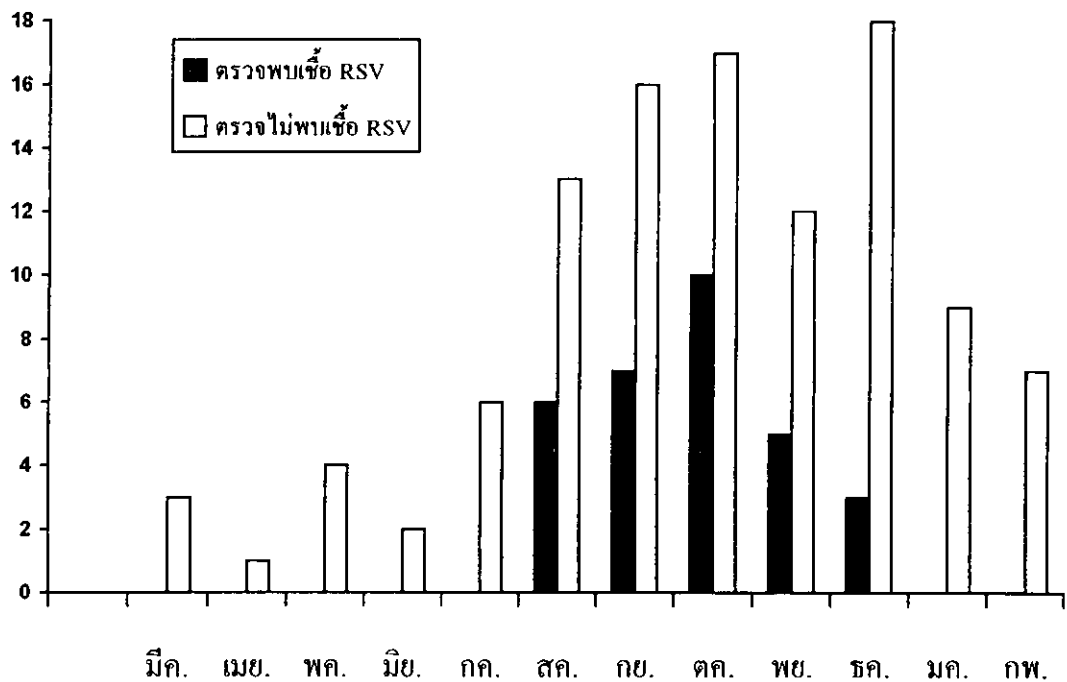


แผนภูมิที่ 1 แสดงจำนวนผู้ป่วยจำแนกตามเดือนที่พบผู้ป่วยและการตรวจพบเชื้อ RSV



ตารางที่ 1 แสดงจำนวนผู้ป่วยจำแนกตามกลุ่มอายุและการตรวจพบเชื้อ RSV

อายุ	การตรวจหาเชื้อ RSV	
	พบเชื้อ	ไม่พบเชื้อ
0-6 เดือน*	16	28
6-12 เดือน	7	32
1-3 ปี	8	41
3-5 ปี	0	7
รวม	31	108

* P value = 0.01

Odds ratio = 3.05 (95%CI = 1.24-7.55)

Relative risk = 2.30 (95%CI = 1.26-4.23)

ตารางที่ 2 แสดงจำนวนผู้ป่วยจำนวนการทางคลินิกและการตรวจพบเชื้อ RSV

อาการทางคลินิก	การตรวจหาเชื้อ RSV		P-value
	พบเชื้อ n=31	ไม่พบเชื้อ n=108	
ประวัติมีไข้	30	104	1.0
มีน้ำมูกใส	27	82	0.3
หายใจเร็ว	27	90	0.8
ไอมีเสมหะในคอ	25	81	0.7
*หายใจออกลำบาก	22 (71%)	52 (48%)	0.04
หายใจมีเสียงดัง	14	44	0.8
เมื่้อาหาร	11	35	0.9
ไอมีเสมหะขาว	11	47	0.6
คัดจมูก	6	20	0.9
เสียงแห้ง	5	14	0.8
คนในบ้านมีอาการติดเชื้อทางเดินหายใจ	5	21	0.8
ตา	3	14	0.8
ไอแหบ	3	18	0.4
เพ็ข่า	3	19	0.4
หยุดหายใจ (apnea)	1	0	0.2
หน้าสั้น	1	2	0.5
เด็กชอบดึงใบหญ้า	1	4	1.0
เจ็บคอ	1	10	0.5

* Odds ratio = 2.63 (95%CI = 1.03-6.84)

Relative risk = 2.15 (95%CI = 1.07-4.33)

ตารางที่ 3 แสดงจำนวนผู้ป่วยจำแนกตามอาการแสดงทางคลินิกและการตรวจพับเชื้อ RSV

อาการแสดงทางคลินิก	การตรวจหาเชื้อ RSV		P-value
	พับเชื้อ n=31	ไม่พับเชื้อ n=108	
Crepitation	26	75	0.2
Rhonchi	24	89	0.9
Injected pharynx	22	59	0.2
Wheezing	9	28	0.8
Dyspnea	6	31	0.5
Nasal injection edema	3	15	0.8
Stridor	1	3	1.0
Hoarsness	1	4	1.0
Barking cough	1	4	1.0

ตารางที่ 4 แสดงผลการตรวจนับเม็ดเลือดขาวจำแนกตามชนิดของเม็ดเลือดขาว และการตรวจพับเชื้อ RSV

ผลการตรวจนับเม็ดเลือด	การตรวจหาเชื้อ RSV		P-value
	พับเชื้อ n= 31	ไม่พับเชื้อ n=103	
Total White blood cell (mean)	14,734	14,039	0.583
Neutrophil (%)	38.3	48	0.016
Band form (%)	4.5	2.8	0.163
Lymphocyte	48.2	41	0.069

ตารางที่ 5 แสดงจำนวนผู้ป่วยจำแนกตามลักษณะภาพถ่ายรังสีทรวงอก
และการตรวจพนเปื้อ RSV

ลักษณะภาพถ่ายรังสีทรวงอก	การตรวจหาเชื้อ RSV	
	พนเปื้อ [*] n=29	ไม่พนเปื้อ [*] n=98
Perihilar infiltration	18 (62.1%)	46 (46.9%)
Hyperaeration	10 (34.5%)	33 (33.7%)
Patchy or lobar infiltration	11 (37.9%)	47 (48.0%)
Atelectasis	0	3 (3.1%)

ตารางที่ 6 เปรียบเทียบผลการตรวจหา Respiratory syncytial virus จากสิ่งส่งตรวจเด็ก
จำนวน 134 ราย ระหว่างเดือนมีนาคม 2535 ถึงกุมภาพันธ์ 2536 ด้วยวิธี
immunofluorescence และวิธีเพาะแยกเชื้อด้วยวิธี shell vial

	shell vial		culture
	+	-	
IFA	+	5	1
	-	34	267

วิธี IFA นี้ sensitivity = 81.5% positive predictive value = 83.3%
specificity = 99.1% negative predictive value = 99.6%

ตารางที่ 7 แสดงจำนวนผู้ป่วยจำแนกตามเดือนที่ป่วยและการตรวจพบเชื้อ^{*}
ไข้หวัดใหญ่

เดือน	การตรวจพบเชื้อ ไข้หวัดใหญ่	
	พบเชื้อ n=30	ไม่พบเชื้อ n=142
มิถุนายน	-	3
กรกฎาคม	18	73
สิงหาคม	12	59
กันยายน	-	7

ตารางที่ 8 แสดงจำนวนผู้ป่วยจำแนกตามอาการทางคลินิกและการตรวจพบเชื้อไข้หวัดใหญ่

อาการทางคลินิก	การตรวจพบเชื้อไข้หวัดใหญ่		P-value
	พบเชื้อ n=30	ไม่พบเชื้อ n=142	
ประวัติมีไข้	30	142	1.0
น้ำมูกใส	25	108	0.5
เจ็บคอ	21	68	0.04
ไอมีเสียงเหน็บหนาในคอ	18	71	0.4
คัดจมูก	17	74	0.8
มีคนในบ้านมีอาการติดเชื้อทางเดินหายใจ	13	13	<0.001
เมื่้อาหาร	13	64	0.9
หายใจเร็ว	10	45	1.0
ไอแห้งๆ	9	36	0.7
หายใจมีเสียงดัง	9	46	1.0
ไอมีเสมหะขาว	8	30	0.7
ไข้	8	33	0.9
หน้าวลั่น	7	17	0.14
เสียงแหบ	5	20	0.8
หายใจลำบาก	0	2	1.0

ตารางที่ 9 แสดงจำนวนผู้ป่วยจำแนกตามอาการแสดงทางคลินิกและการตรวจพนเข็มไข้หวัดใหญ่

อาการแสดงทางคลินิก	การตรวจพนเข็มไข้หวัดใหญ่		P-value
	พนเข็ม n=30	ไม่พนเข็ม n=142	
Injected pharynx	30	136	0.2
Nasal injection/edema	28	135	0.7
Post nasal discharge	3	22	0.6
Rhonchi	2	21	0.4
Stridor	0	1	1.0
Barking cough	0	2	1.0
Wheezing	0	6	0.6
Crepitation	0	7	0.6
Dyspnea	0	8	0.4

ตารางที่ 10 แสดงความแรงของการปั่นต่อการพับ foci influenza A virus จากการตรวจด้วยวิธี

shell vial

ปริมาณไวรัส *	g	0	700	1500**	3000
10^{-1}		5-10/HPF	many	many	many
10^{-2}		3-5/HPF	many	many	many
10^{-3}		5-10/LPF	10-12/HPF	10-12/HPF	10-12/HPF
10^{-4}		1-2/LPF	3-5/HPF	5-10/LPF	5-10/LPF
10^{-5}		0-1/LPF	3-5/LPF	3-5/LPF	3-5/LPF
10^{-6}		-	0-1/LPF	1-2/LPF	1-2/LPF
10^{-7}		-	-	0-1/LPF	0-1/LPF

HPF = จำนวนของ foci ของ influenza virus ที่พบต่อ 1 พื้นที่ของกำลังขยาย 400 เท่า

LPF = จำนวนของ foci ของ influenza virus ที่พบต่อ 1 พื้นที่ของกำลังขยาย 100 เท่า

* = ความเจือจางของไวรัส

** = ความแรงที่เหมาะสมของการปั่น

ตารางที่ 11 แสดงความแรงของการปั่นต่อการพบร foci ของ influenza B virus จากการตรวจด้วยวิธี shell vial

ปริมาณไวรัส*	g	0	700	1500**	3000
10^{-1}		5-10/HPF	many	many	many
10^{-2}		3-5/HPF	many	many	many
10^{-3}		2-3/LPF	5-10/HPF	10-12/HPF	10-12/LPF
10^{-4}		0-1/LPF	1-2/HPF	3-5/LPF	3-5/LPF
10^{-5}		-	0-1/LPF	1-2/LPF	1-2/LPF
10^{-6}		-	0-1/LPF	0-1/LPF	0-1/LPF
10^{-7}		-	-	-	-

HPF = จำนวนของ foci ของ influenza virus ที่พบต่อ 1 พื้นที่ของกำลังขยาย 400 เท่า

LPF = จำนวนของ foci ของ influenza virus ที่พบต่อ 1 พื้นที่ของกำลังขยาย 100 เท่า

* = ความเข้มข้นของไวรัส

** = ความแรงที่เหมาะสมของการปั่น

ตารางที่ 12 แสดงระยะเวลาที่ใช้ในการปั๊นต่อการพับ foci ของ influenza A virus จากการตรวจด้วยวิธี

shell vial

เวลา (นาที) ปริมาณไวรัส*	30	60**	90	120
10^{-1}	many	many	many	many
10^{-2}	many	many	many	many
10^{-3}	10-15/HPF	10-15/HPF	10-15/HPF	10-15/HPF
10^{-4}	3-5/HPF	5-7/HPF	5-7/LPF	5-7/LPF
10^{-5}	3-5/LPF	3-5/LPF	3-5/LPF	3-5/LPF
10^{-6}	0-1/LPF	1-2/LPF	2-3/LPF	2-3/LPF
10^{-7}	0-1/LPF	0-1/LPF	0-1/LPF	0-1/LPF

HPF = จำนวนของ foci ของ influenza virus ที่พบต่อ 1 พื้นที่ของกำลังขยาย 400 เท่า

LPF = จำนวนของ foci ของ influenza virus ที่พบต่อ 1 พื้นที่ของกำลังขยาย 100 เท่า

* = ความเข้มข้างของไวรัส

** = เวลาที่เหมาะสมของการปั๊น

ตารางที่ 13 แสดงระยะเวลาที่ใช้ในการปั่นต่อการพับ foci ของ influenza B virus จากการกรองด้วยวิธี

shell vial

เวลา (นาที) ปริมาณไวรัส*	30	60**	90	120
10^{-1}	many	many	many	many
10^{-2}	many	many	many	many
10^{-3}	5-7/LPF	10-15/HPF	10-15/HPF	10-15/HPF
10^{-4}	1-2/HPF	3-5/HPF	3-5/HPF	3-5/HPF
10^{-5}	1-2/LPF	1-2/LPF	1-2/HPF	1-2/HPF
10^{-6}	0-1/LPF	0-1/LPF	0-1/LPF	0-1/LPF
10^{-7}	-	-	-	-

HPF = จำนวนของ foci ของ influenza virus ที่พบต่อ 1 พื้นที่ของกำลังขยาย 400 เท่า

LPF = จำนวนของ foci ของ influenza virus ที่พบต่อ 1 พื้นที่ของกำลังขยาย 100 เท่า

* = ความเจือจางของไวรัส

** = เวลาที่เหมาะสมของการปั่น

ตารางที่ 14 แสดงผลของอุณหภูมิที่ใช้ในการปั่นต่อการพับ foci ของ influenza A virus

จากการตรวจด้วยวิธี shell vial

อุณหภูมิ ปริมาณไวรัส*	4°ช	25°ช**	37°ช
10 ⁻¹	many	many	many
10 ⁻²	many	many	many
10 ⁻³	10-15/HPF	10-15/HPF	10-15/HPF
10 ⁻⁴	5-7/HPF	5-7/HPF	5-7/HPF
10 ⁻⁵	3-5/HPF	3-5/HPF	1-2/HPF
10 ⁻⁶	3-5/LPF	3-5/LPF	1-2/LPF
10 ⁻⁷	0-1/LPF	0-1/LPF	0-1/LPF

HPF = จำนวนของ foci ของ influenza virus ที่พับค่อ 1 พื้นที่ของกำลังขยาย 400 เท่า

LPF = จำนวนของ foci ของ influenza virus ที่พับค่อ 1 พื้นที่ของกำลังขยาย 100 เท่า

* = ความเจือจางของไวรัส

** = อุณหภูมิที่เหมาะสมของการปั่น

ตารางที่ 15 แสดงผลของอุณหภูมิที่ใช้ในการปั้นต่อการพบร *foci* ของ influenza B virus

จากการตรวจด้วยวิธี shell vial

อุณหภูมิ ปริมาณไวรัส*	4° ซ*	25° ซ**	37° ซ
10 ⁻¹	many	many	many
10 ⁻²	many	many	many
10 ⁻³	10-15/HPF	10-15/HPF	10-15/HPF
10 ⁻⁴	5-7/HPF	5-7/HPF	5-7/HPF
10 ⁻⁵	1-2/HPF	1-2/HPF	1-2/HPF
10 ⁻⁶	0-1/LPF	0-1/LPF	0-1/LPF
10 ⁻⁷	-	-	-

HPF = จำนวนของ *foci* ของ influenza virus ที่พบต่อ 1 พื้นที่ของกำลังขยาย 400 เท่า

LPF = จำนวนของ *foci* ของ influenza virus ที่พบต่อ 1 พื้นที่ของกำลังขยาย 100 เท่า

* = ความเจือจางของไวรัส

** = อุณหภูมิที่เหมาะสมของการปั้น

ตารางที่ 16 แสดงผลการตรวจหา influenza virus จากสิ่งส่งตรวจผู้ป่วยเด็ก จำนวน 306 ราย

ด้วยวิธี IFA เพาะแยกด้วยวิธีดั้งเดิมและเพาะแยกด้วยวิธี shell vial

ผล	IFA	Conventional culture	shell vial culture
บวก	6(1)	34(2)	39(2)
ลบ	300	272	267

() = จำนวนผู้ป่วยที่พบเชื้อ influenza B virus

ตารางที่ 17 เปรียบเทียบผลการตรวจหา influenza virus จากสิ่งส่งตรวจเด็กจำนวน 306 ราย

ด้วยวิธีเพาะแยกเชื้อด้วยวิธีดั้งเดิมและเพาะแยกเชื้อด้วยวิธี shell vial

		shell vial	culture
		+	-
Conventional culture	+	34	0
	-	5	267

วิธี Conventioanal culture นี้ sensitivity = 87.2% positive predictive value = 100%

specificity = 100% negative predictive value = 98.2%

ตารางที่ 18 เปรียบเทียบผลการตรวจ influenza virus จากสิ่งส่งตรวจของเด็กจำนวน 306 ราย

ด้วยวิธีเพาะแยกเชื้อด้วยวิธี shell vial และวิธี immunofluorescence

		shell vial	culture
		+	-
IFA	+	5	1
	-	34	267

วิธี IFA นี้ sensitivity = 12.8% positive predictive value = 83.3%

specificity = 99.6% negative predictive value = 88.7%